

中国吉林省、荒溝山地域に分布する花崗岩のCHIME 年代測定

CHIME dating of granites exposed in the Huanggoushan area of the Jilin province, China

孫 徳有 (SUN Deyou)^{1), 2), 3)}, 鈴木 和博 (SUZUKI Kazuhiro)²⁾

1) Key Laboratory of Continental Dynamics, Ministry of Education, Northwest University, Xi'an, Shanxi 710069, China

2) 名古屋大学年代測定総合研究センター

Center for Chronological Research, Nagoya University, Nagoya 464-8602, Japan

3) College of Earth Sciences, Jilin University, Changchun, Jilin 130061, China

Abstract

In the Huanggoushan area of the Jilin Province, two types of Mesozoic granites occur: (hornblende)-biotite granite represented by Caoshan, Lishugou and Laotudingzi plutons, and garnet-bearing muscovite granite represented by Yaolin pluton. Using CHIME geochronological method, the zircons and monazites from the Caoshan and Lishugou plutons are dated. The CHIME zircon age of the Lishugou pluton is 178 ± 9 Ma. For the Caoshan pluton, the CHIME zircon and monazite ages are 175 ± 8 Ma and 177 ± 6 Ma, respectively. It is concluded that the Mesozoic granitic magmatism in the Huanggoushan area took place at ~ 175 Ma of Middle Jurassic, not Late Triassic as previously thought. These age data provide some new information about the studies of the igneous activity and geodynamics of eastern China during Jurassic.

はじめに

荒溝山 (Huanggoushan) 地域は中国吉林省白山 (Baishan) 市の東南部に位置し、朝鮮民主主義人民共和国との国境に接する (Fig. 1). この地域は北支那地塊の東北縁を構成し、その北方には興安-蒙古造山帯 (Xing'an-Mongolia orogenic belt, 中央アジア造山帯の一部分) が広がる。荒溝山地域の基盤岩は始生代 (太古代) のトーナライト-トロニエム岩-花崗閃綠岩質 (TTG) 片麻岩と準片麻岩類、原生代 (元古代) の老嶺層群や花崗岩からなる。老嶺層群を構成している主要な岩石は細粒片麻岩~雲母片岩、コツァイト~珪質片岩、結晶質石灰岩、角閃岩である。基盤岩は原生代末期の震旦系および古生代・中生代の堆積岩に覆われ、さらに部分的に第四紀の玄武岩に覆われる。

荒溝山地域をはじめとして、白山市・通化市・集安市など吉林省南東部の地域には、多数の花崗岩が貫入している。この地域の北方広がる興安-蒙古造山帯、特に西部の Xinjiang 地域には、二疊紀の I タイプ花崗岩 (Jahn et al., 2000) が大規模に分布している。一方、南方のコリア半島には大宝 (ジュラ紀) 期の花崗岩および白亜紀の花崗岩が広く分布する (Won, 1987)。このように、吉林省南東部では、年代の異なる花崗岩が会合している可能性がある。アジア大陸東部の地質構造形成過程を解明するために、吉林省南東部に分布する個々の花崗岩の年代を明らかにする必要がある。本稿では、荒溝山地域の花崗岩のCHIME 年代を報告する。

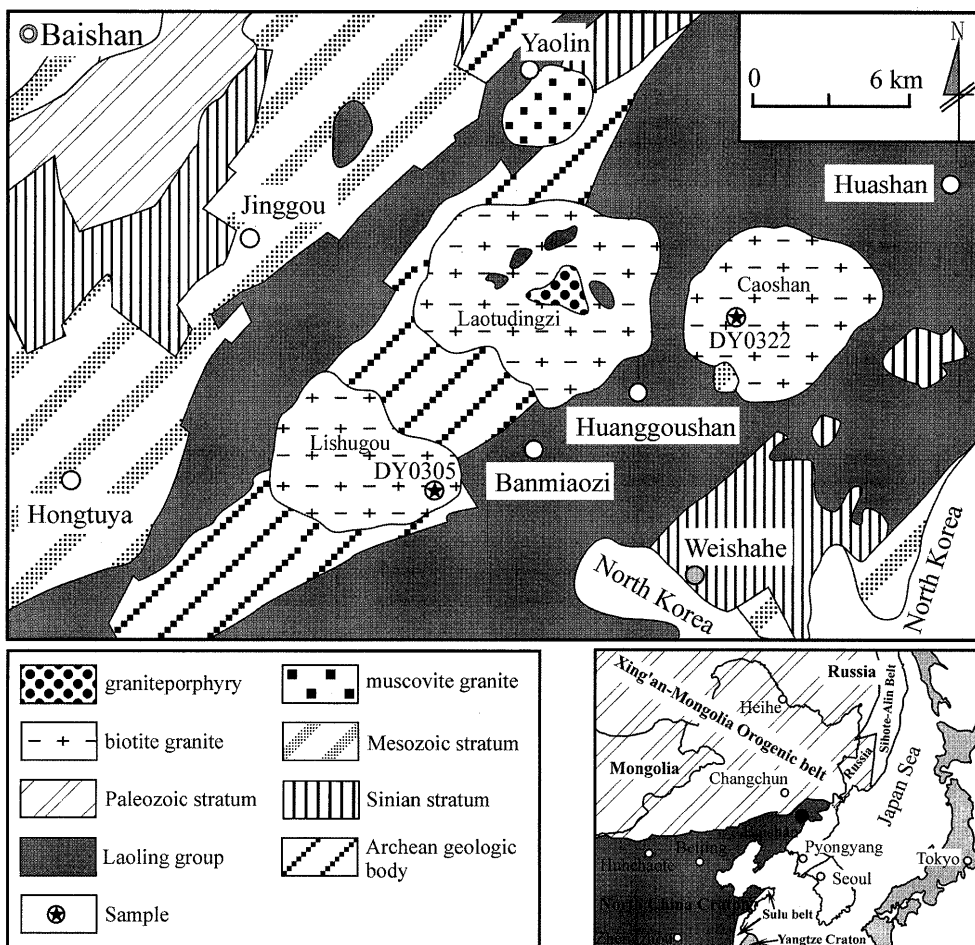


Fig. 1. Geological sketch map of the Huanggoushan area in the Jilin province, China. Location of the Huanggoushan area in the northeastern end of the north China craton is shown by the solid circle in the index map.

荒溝山地域の花崗岩の特徴と岩石記載

荒溝山地域には遙林(Yaolin), 梨樹溝(Lishugou), 老禿頂子(Laoitudingzi)および草山(Caoshan)の4花崗岩体が存在し, それぞれの岩体の露出面積は 12 km^2 , 28 km^2 , 61 km^2 と 29 km^2 である(Fig. 1)。構成岩種は, 遙林岩体が白色中粒~細粒ザクロ石白雲母モンゾ花崗岩, 梨樹溝岩体が灰白色斑状中粒~中粗粒角閃黒雲母モンゾ花崗岩, 老禿頂子岩体と草山岩体が灰紅色斑状中粗粒黒雲母モンゾ花崗岩~閃長花崗岩である。

遙林, 老禿頂子, 梨樹溝の3岩体は始生代のTTG片麻岩および原生代老嶺層群の雲母片岩~細粒片麻岩・結晶質石灰岩に貫入し, 草山岩体が老嶺層群の雲母片岩とコツァイト~珪質片岩に貫入している。これらの4岩体は時代の明らかな古生層や中生層に接していない。しかし, 近隣の白山市・通化市・集安市地域の花崗岩には, 三畳系やジュラ系に貫入しているものもある。このことと, 草山岩体を覆う火山碎屑岩をジュラ紀末期に比定することにより, 荒溝山地域の花崗岩はジュラ紀の貫入岩と考えられてきた(Jilin Bureau of Geology and Mineral Resources, 1988)。その後, Rb-Sr全岩アイソクロン法で, 老禿頂子岩体が $197\pm10\text{ Ma}$, 梨樹溝岩体が $215\pm26\text{ Ma}$ の年代が報告された(Wang and Xing, 1994)。この放射年代に従えば, 荒溝山地域の花崗岩は, 三畳系やジュラ系に貫入している近隣の花崗岩体より, 古い貫入岩体といえる。しかし, Rb-Sr全岩アイソクロン年代には $10\sim26\text{ Ma}$ の誤差がある

ので、荒溝山地域の花崗岩が三疊紀ないしジュラ紀初頭の貫入岩であると断定することはできない。ウランに富むジルコンやモナザイトを含む草山岩体と梨樹溝岩体をCHIME法で再測定した。

梨樹溝岩体の試料(DY0305-1)は東経126°36'44.7", 北緯41°46'3.2"の地点から採取した。岩石は鉱物の定向配列等が見られない塊状の灰白色斑状中粒モンゾ花崗岩で、主要鉱物は斜長石(35~40%)、カリ長石(25~30%)、石英(25~30%)、角閃石(5%)と黒雲母(5%)である。副成分鉱物としてジルコン、アパタイト、チタナイト、アラナイト、不透明鉱物が存在する。ジルコンは、長さが0.06~0.20mmであり、伸長比(長さ/幅)2.2~2.6の短柱状のものが多く、5を超す長柱状結晶は少ない。一般に同心的な成長累帯を呈する。草山岩体の試料(DY0322-1)は東経126°45'27.6", 北緯41°49'47.8"の地点から採取した。この岩石は塊状構造を灰紅色斑状中粒モンゾ花崗岩であり、主に斜長石(25~30%)、カリ長石(35~40%)、石英(30%)、黒雲母(5%)で構成される。この岩石は、チタナイトを欠いて、ジルコンとモナザイトの両方を含んでいる。ジルコンは、長さが0.06~0.37mmであり、伸長比は2.5~3.5のものが多い。殆どのジルコン結晶で同心的な成長累帯が見られる。モナザイトは0.05~0.10mm大の粒状結晶である。

CHIME年代測定

ジルコンとモナザイトのCHIME年代測定は名古屋大学年代測定総合研究センターの4分光器を備えたJCXA-733型電子プローブマイクロアナライザで行った。加速電圧15KV、プローブ電流0.2 μA、プローブ径5μmの条件で、ThM α 、UM β 、PbM α 、YL α 、CaK α 、SK α およびZrL α (モナザイトの場合はPK α)を測定した。ThM α 、UM β 、PbM α 、YL α は、低エネルギー側バックグランド(40秒)ピーク(80秒)高エネルギー側バックグランド(40秒)計測を1サイクルとし、同時に5回くり返し測定をして、累積値をピークおよびバックグランド強度とした。PbM α にはThM ξ とYL γ が干渉する。この干渉は、鉛を含まないThとYの試料で、ThM α とPbM α 測定位置におけるThM ξ の比($f_{Th-Pb} = ThM\xi_{(PbM\alpha \text{ position})} / ThM\alpha$)、およびYL α とPbM α 測定位置におけるYL γ の比($f_{Y-Pb} = YL\gamma_{(PbM\alpha \text{ position})} / YL\alpha$)を測定して、

$$PbM\alpha_{(net)} = PbM\alpha_{(measured)} - ThM\alpha_{(measured)} \times f_{Th-Pb} - YL\alpha_{(measured)} \times f_{Y-Pb}$$

で補正した。また、UM β に対するThM β の干渉は、Uを含まないTh試料で、ThM α とUM β 測定位置におけるThM β の比($f_{Th-U} = ThM\beta_{(UM\beta \text{ position})} / ThM\alpha$)を測定して、

$$UM\beta_{(net)} = UM\beta_{(measured)} - ThM\alpha_{(measured)} \times f_{Th-U}$$

で補正した。SK α に干渉するZrL α も同様に補正した。X線強度を400秒間累積した場合、2σの信頼度におけるThO₂、UO₂、PbOの検出限界は、それぞれ、0.008~0.009、0.009~0.010、0.006~0.007重量%である。干渉補正を含めたPbOの分析誤差は、0.01重量%レベルで±50%、0.02重量%レベルで±30%，0.05重量%レベルで±10%，0.1重量%レベルで±5%以下である。ThO₂とUO₂の分析誤差も同程度である。0.2~0.5重量%レベルのThO₂とUO₂の分析誤差は±3%，それ以上の濃度の分析誤差は±2%程度である。

測定したThM α 、UM β 、PbM α 、YL α 、CaK α 、SK α 、ZrL α (モナザイトの場合はPK α)の強度は、ジルコンやモナザイトの平均組成をつかって、Bence and Albee (1968)の方法で補正し濃度に換算した。各測定点のマトリックス組成は補正に使用した平均組成と異なっているが、この差異に起因する誤差は計測誤差より小さいので無視して差し支えない。ジルコンとモナザイトの分析結果と初生鉛=0と仮定した見かけ年代をTable 1に掲げる。見かけ年代はSuzuki and Adachi (1991, 1994)にしたがつて計算した。

Table 1. Microprobe analyses of ThO₂, UO₂, PbO, CaO, Y₂O₃ and S together with apparent age (Ma) of zircon and monazite from granite samples of the Lishugou (DY0305-1) and Caoshan (DY0322-1) plutons in the Huanggoushan area of the Jilin Province. UO₂*: sum of the measured UO₂ and UO₂ equivalent of the measured ThO₂. ThO₂*: sum of the measured ThO₂ and ThO₂ equivalent of the measured UO₂. nd: not detected.

| No. | ThO ₂ | UO ₂ | PbO | Age | UO ₂ * | CaO | Y ₂ O ₃ | S | No. | ThO ₂ | UO ₂ | PbO | Age | UO ₂ * | CaO | Y ₂ O ₃ | S |
|----------|------------------|-----------------|--------|-----|-------------------|------|-------------------------------|-------|--------|------------------|-----------------|--------|-----|-------------------|------|-------------------------------|-------|
| DY0305-1 | | | | | | | | | | | | | | | | | |
| Z01-01 | 0.338 | 0.592 | 0.0157 | 167 | 0.697 | 0.14 | 0.42 | nd | Z01-13 | 4.20 | 1.05 | 0.0554 | 175 | 2.35 | 1.61 | 3.16 | nd |
| Z01-02 | 0.225 | 0.638 | 0.0189 | 197 | 0.708 | 0.02 | 0.26 | nd | Z01-14 | 3.17 | 0.863 | 0.0422 | 169 | 1.85 | 0.21 | 0.69 | nd |
| Z01-03 | 0.390 | 1.87 | 0.0488 | 181 | 1.99 | 1.19 | 1.90 | 0.304 | Z01-15 | 0.057 | 0.095 | nd | — | — | 0.02 | 0.18 | nd |
| Z01-04 | nd | 0.080 | nd | — | — | 0.09 | nd | nd | Z01-16 | 0.018 | 0.089 | nd | — | — | 0.01 | 0.15 | nd |
| Z01-05 | 0.015 | 0.327 | 0.0070 | 157 | 0.331 | 0.01 | nd | nd | Z01-17 | 0.030 | 0.111 | nd | — | — | 0.07 | 0.18 | 0.025 |
| Z01-06 | 0.377 | 1.30 | 0.0350 | 183 | 1.41 | 0.57 | 0.20 | nd | Z01-18 | 0.032 | 0.090 | nd | — | — | 0.01 | 0.16 | nd |
| Z01-07 | 0.124 | 0.624 | 0.0178 | 199 | 0.662 | 0.31 | 0.10 | nd | Z01-19 | 0.769 | 0.334 | 0.0150 | 194 | 0.572 | 0.64 | 1.75 | nd |
| Z01-08 | 0.165 | 1.02 | 0.0264 | 183 | 1.07 | 0.42 | 0.13 | nd | Z01-20 | 0.007 | 0.017 | nd | — | — | 0.01 | 0.02 | nd |
| Z01-09 | 0.214 | 0.476 | 0.0138 | 188 | 0.542 | 0.07 | 0.27 | nd | Z01-21 | 0.031 | 0.060 | nd | — | — | 0.57 | 0.15 | nd |
| Z01-10 | 0.135 | 0.447 | 0.0092 | 140 | 0.489 | 0.22 | 0.09 | nd | Z01-22 | 0.020 | 0.061 | nd | — | — | 0.01 | 0.18 | nd |
| Z02-01 | 0.297 | 0.625 | 0.0167 | 172 | 0.717 | 0.03 | 0.56 | nd | Z01-23 | 0.014 | 0.035 | nd | — | — | 0.01 | 0.11 | nd |
| Z02-02 | 0.215 | 0.370 | 0.0105 | 178 | 0.436 | 0.06 | 0.11 | nd | Z02-01 | 0.004 | 0.055 | nd | — | — | 0.17 | nd | 0.003 |
| Z02-03 | 0.047 | 0.151 | nd | — | — | 0.02 | 0.14 | nd | Z02-02 | 0.015 | 0.467 | 0.0118 | 185 | 0.471 | 1.05 | nd | 0.013 |
| Z02-04L | 0.677 | 0.855 | 0.0197 | 137 | 1.07 | 0.18 | 0.32 | nd | Z02-03 | nd | 0.128 | nd | — | — | 0.48 | nd | nd |
| Z02-05L | 0.457 | 0.706 | 0.0094 | 82 | 0.848 | 0.93 | 0.41 | nd | Z02-04 | 0.003 | 0.108 | nd | — | — | 0.62 | nd | nd |
| Z02-06 | 0.206 | 0.538 | 0.0125 | 154 | 0.602 | 0.04 | 0.44 | nd | Z02-05 | 0.015 | 0.224 | nd | — | — | 0.70 | nd | nd |
| Z02-07 | 1.26 | 1.28 | 0.0391 | 173 | 1.67 | 0.04 | 0.47 | nd | Z02-06 | 0.006 | 0.199 | nd | — | — | 0.77 | nd | nd |
| Z02-08 | 1.43 | 1.42 | 0.0424 | 168 | 1.87 | 0.05 | 0.56 | nd | Z02-07 | 0.004 | 0.198 | 0.0068 | 251 | 0.199 | 0.69 | nd | 0.009 |
| Z02-09 | 0.366 | 0.541 | nd | — | — | 0.25 | 0.09 | nd | Z02-08 | 0.008 | 0.576 | 0.0157 | 200 | 0.578 | 0.79 | nd | 0.011 |
| Z02-10 | 0.187 | 0.492 | 0.0125 | 168 | 0.550 | 0.01 | 0.51 | nd | Z02-09 | 0.001 | 0.131 | nd | — | — | 0.94 | nd | nd |
| Z02-11L | 0.137 | 0.548 | 0.0101 | 127 | 0.590 | 0.22 | 0.23 | nd | Z03-01 | 0.058 | 0.062 | nd | — | — | 0.06 | 0.36 | nd |
| Z02-12 | 1.35 | 1.32 | 0.0442 | 188 | 1.74 | 0.15 | 0.54 | nd | Z03-02 | 0.598 | 0.441 | 0.0132 | 156 | 0.627 | 0.78 | 1.58 | nd |
| Z02-13 | 0.580 | 0.998 | 0.0283 | 178 | 1.18 | 0.16 | 0.50 | nd | Z03-03 | 0.326 | 0.244 | nd | — | — | 0.03 | 0.78 | nd |
| Z02-14 | 0.190 | 0.536 | nd | — | — | 0.03 | 0.36 | nd | Z03-04 | 0.306 | 0.041 | nd | — | — | 0.08 | 0.78 | nd |
| Z02-15 | 0.324 | 0.755 | 0.0192 | 166 | 0.856 | 0.02 | 0.59 | nd | Z03-05 | 0.007 | 0.528 | nd | — | — | nd | 0.03 | nd |
| Z02-16 | 0.662 | 1.93 | 0.0473 | 164 | 2.14 | 0.55 | 0.57 | nd | Z03-06 | 0.042 | 0.066 | nd | — | — | 0.01 | 0.25 | nd |
| Z02-17 | 0.247 | 0.632 | nd | — | — | 0.01 | 0.52 | nd | Z03-07 | nd | 1.50 | nd | — | — | nd | nd | nd |
| Z02-18 | 0.675 | 0.984 | 0.0279 | 173 | 1.19 | 0.92 | 0.62 | nd | Z03-08 | 0.198 | 0.160 | nd | — | — | 0.04 | 0.71 | nd |
| Z02-19 | 0.983 | 1.31 | 0.0379 | 174 | 1.61 | 0.39 | 0.65 | nd | Z03-09 | 0.470 | 0.316 | 0.0099 | 159 | 0.461 | 0.13 | 1.47 | nd |
| Z02-20L | 1.02 | 2.21 | 0.0272 | 80 | 2.53 | 1.49 | 0.43 | nd | Z03-10 | 0.527 | 0.419 | 0.0126 | 160 | 0.583 | 0.45 | 1.44 | nd |
| Z02-21 | 0.281 | 0.430 | 0.0137 | 196 | 0.517 | 0.05 | 0.19 | nd | Z03-11 | 1.14 | 0.518 | 0.0215 | 183 | 0.870 | 0.98 | 2.76 | nd |
| Z02-22 | 0.300 | 0.654 | 0.0166 | 165 | 0.747 | 0.04 | 0.54 | nd | Z03-12 | 0.348 | 0.193 | nd | — | — | 0.29 | 0.93 | nd |
| Z02-23 | 0.207 | 0.551 | 0.0154 | 185 | 0.615 | 0.01 | 0.45 | nd | Z03-13 | 0.729 | 0.459 | 0.0184 | 198 | 0.685 | 0.88 | 1.93 | nd |
| Z03-01 | 0.173 | 0.251 | 0.0070 | 170 | 0.305 | 0.02 | 0.16 | nd | Z03-14 | 0.012 | 0.082 | nd | — | — | 0.14 | nd | nd |
| Z03-02 | 0.070 | 0.102 | nd | — | — | 0.01 | 0.15 | nd | Z03-15 | 0.015 | 0.021 | nd | — | — | 0.01 | 0.02 | nd |
| Z03-03 | 0.077 | 0.067 | nd | — | — | 0.01 | 0.06 | nd | Z03-16 | 0.015 | 0.046 | nd | — | — | 0.01 | 0.07 | nd |
| DY0322-1 | | | | | | | | | | | | | | | | | |
| Z01-01 | 3.89 | 0.777 | 0.0474 | 177 | 1.98 | 1.34 | 3.22 | nd | Z04-01 | 0.078 | 0.479 | 0.0125 | 184 | 0.503 | 0.63 | 1.33 | nd |
| Z01-02 | 3.72 | 0.737 | 0.0444 | 174 | 1.89 | 1.24 | 3.19 | nd | Z04-02 | 0.083 | 0.682 | 0.0160 | 167 | 0.708 | 0.79 | 1.39 | nd |
| Z01-03 | 3.39 | 0.656 | 0.0404 | 175 | 1.71 | 1.02 | 3.03 | nd | Z04-03 | 0.064 | 0.573 | 0.0151 | 188 | 0.592 | 0.68 | 1.26 | nd |
| Z01-04 | 3.38 | 0.671 | 0.0412 | 177 | 1.72 | 1.12 | 2.99 | nd | Z04-04 | 0.058 | 0.517 | 0.0120 | 166 | 0.535 | 0.48 | 1.15 | nd |
| Z01-05 | 4.09 | 0.726 | 0.0512 | 190 | 1.99 | 1.30 | 3.33 | nd | Z04-05 | 0.109 | 0.605 | 0.0147 | 170 | 0.639 | 0.88 | 1.58 | nd |
| Z01-06 | 3.24 | 0.673 | 0.0393 | 174 | 1.68 | 1.26 | 2.65 | nd | Z04-06 | 0.057 | 0.340 | 0.0073 | 151 | 0.358 | 0.02 | 0.89 | nd |
| Z01-07 | 3.87 | 0.717 | 0.0414 | 160 | 1.92 | 1.27 | 3.11 | nd | Z04-07 | 0.038 | 0.148 | nd | — | — | nd | 0.39 | nd |
| Z01-08 | 1.38 | 0.353 | 0.0226 | 214 | 0.778 | 0.52 | 1.37 | nd | Z04-08 | 0.006 | 0.070 | nd | — | — | 0.01 | 0.27 | nd |
| Z01-09 | 1.81 | 0.471 | 0.0250 | 179 | 1.03 | 0.54 | 1.81 | nd | Z04-09 | 0.015 | 0.240 | 0.0075 | 226 | 0.244 | 0.01 | 1.12 | nd |
| Z01-10 | 2.11 | 0.445 | 0.0238 | 160 | 1.10 | 0.52 | 1.94 | nd | Z04-10 | 0.010 | 0.209 | nd | — | — | nd | 1.10 | nd |
| Z01-11 | 3.46 | 0.661 | 0.0461 | 197 | 1.73 | 1.01 | 3.00 | nd | Z04-11 | 0.066 | 0.489 | 0.0109 | 159 | 0.509 | 0.66 | 1.27 | nd |
| Z01-12 | 3.39 | 0.730 | 0.0396 | 165 | 1.78 | 1.39 | 3.70 | nd | Z04-12 | 0.075 | 0.703 | 0.0167 | 170 | 0.727 | 1.11 | 1.49 | nd |
| | | | | | | | | | Z04-13 | 0.073 | 0.676 | 0.0191 | 202 | 0.698 | 0.84 | 1.41 | nd |
| | | | | | | | | | Z04-14 | 0.080 | 0.673 | 0.0152 | 161 | 0.698 | 0.85 | 1.51 | nd |

Table 1. (continued)

| No. | ThO ₂ | UO ₂ | PbO | Age | UO ₂ * | CaO | Y ₂ O ₃ | S | No. | ThO ₂ | UO ₂ | PbO | Age | ThO ₂ * | CaO | Y ₂ O ₃ | S |
|--------|------------------|-----------------|--------|-----|--------------------|------|-------------------------------|-------|--------|------------------|-----------------|--------|-----|--------------------|------|-------------------------------|-------|
| Z04-15 | 0.097 | 0.736 | 0.0169 | 163 | 0.766 | 1.23 | 1.64 | nd | M01-39 | 4.29 | 0.018 | 0.0285 | 155 | 4.35 | 0.36 | 0.40 | 0.055 |
| Z04-16 | 0.036 | 0.214 | nd | — | — | 0.01 | 0.63 | nd | M01-40 | 4.29 | 0.020 | 0.0292 | 159 | 4.36 | 0.36 | 0.40 | 0.051 |
| Z04-17 | 0.031 | 0.103 | nd | — | — | 0.01 | 0.30 | nd | M01-41 | 6.97 | 0.027 | 0.0477 | 160 | 7.05 | 0.36 | 0.41 | 0.075 |
| Z04-18 | 0.033 | 0.102 | nd | — | — | 0.02 | 0.24 | nd | M01-42 | 5.03 | 0.023 | 0.0373 | 173 | 5.11 | 0.33 | 0.44 | 0.058 |
| Z04-19 | 0.039 | 0.418 | 0.0119 | 204 | 0.430 | 0.24 | 1.04 | nd | M01-43 | 5.85 | 0.026 | 0.0386 | 154 | 5.93 | 0.36 | 0.51 | 0.037 |
| Z04-20 | 0.083 | 0.570 | 0.0137 | 170 | 0.596 | 0.73 | 1.37 | nd | M01-44 | 4.92 | 0.017 | 0.0361 | 172 | 4.97 | 0.32 | 0.35 | 0.055 |
| Z04-21 | 0.079 | 0.692 | 0.0174 | 180 | 0.716 | 0.92 | 1.47 | nd | M01-45 | 6.59 | 0.034 | 0.0405 | 143 | 6.70 | 0.38 | 0.43 | 0.068 |
| Z04-22 | 0.105 | 0.638 | 0.0172 | 190 | 0.670 | 1.81 | 1.66 | nd | M01-46 | 5.76 | 0.021 | 0.0386 | 157 | 5.83 | 0.36 | 0.47 | 0.055 |
| Z04-23 | 0.016 | 0.067 | nd | — | — | 0.01 | 0.24 | nd | M01-47 | 4.88 | 0.015 | 0.0293 | 140 | 4.93 | 0.30 | 0.35 | 0.066 |
| Z04-24 | 0.010 | 0.212 | nd | — | — | 0.01 | 1.08 | nd | M01-48 | 5.40 | 0.022 | 0.0469 | 203 | 5.47 | 0.42 | 0.65 | 0.049 |
| Z04-25 | 0.044 | 0.414 | 0.0095 | 165 | 0.428 | 0.45 | 1.36 | nd | M02-01 | 8.71 | 0.690 | 0.0808 | 175 | 10.9 | 1.22 | 1.70 | nd |
| Z04-26 | 0.013 | 0.065 | nd | — | — | 0.01 | 0.28 | nd | M02-02 | 9.01 | 0.232 | 0.0750 | 182 | 9.76 | 0.91 | 1.99 | nd |
| Z05-01 | 0.437 | 0.280 | 0.0104 | 185 | 0.415 | 0.04 | 1.16 | nd | M02-03 | 10.2 | 0.189 | 0.0827 | 182 | 10.8 | 0.84 | 2.07 | nd |
| Z05-02 | 0.423 | 0.255 | 0.0080 | 154 | 0.386 | 0.01 | 1.12 | nd | M02-04 | 9.85 | 0.180 | 0.0789 | 179 | 10.4 | 0.85 | 2.08 | nd |
| Z05-03 | 0.049 | 0.064 | nd | — | — | nd | 0.26 | nd | M02-05 | 10.4 | 0.165 | 0.0836 | 180 | 11.0 | 0.83 | 2.10 | nd |
| Z05-04 | 0.139 | 0.131 | nd | — | — | 0.01 | 0.64 | nd | M03-01 | 4.49 | 0.018 | 0.0283 | 147 | 4.55 | 0.24 | 0.41 | 0.040 |
| No. | ThO ₂ | UO ₂ | PbO | Age | ThO ₂ * | CaO | Y ₂ O ₃ | S | M03-02 | 5.02 | 0.032 | 0.0366 | 169 | 5.12 | 0.30 | 0.43 | 0.036 |
| M01-01 | 6.90 | 0.114 | 0.0601 | 196 | 7.27 | 0.45 | 0.87 | 0.010 | M03-03 | 9.06 | 0.063 | 0.0679 | 173 | 9.26 | 0.38 | 0.53 | 0.020 |
| M01-02 | 5.27 | 0.058 | 0.0467 | 202 | 5.46 | 0.38 | 0.41 | 0.098 | M03-04 | 5.10 | 0.031 | 0.0335 | 152 | 5.20 | 0.28 | 0.45 | 0.044 |
| M01-03 | 8.19 | 0.077 | 0.0629 | 176 | 8.44 | 0.54 | 1.33 | 0.006 | M03-05 | 5.66 | 0.045 | 0.0356 | 145 | 5.80 | 0.34 | 0.46 | 0.036 |
| M01-04 | 4.87 | 0.050 | 0.0326 | 153 | 5.03 | 0.37 | 0.54 | 0.066 | M03-06 | 4.78 | 0.035 | 0.0345 | 167 | 4.90 | 0.27 | 0.40 | 0.035 |
| M01-05 | 5.60 | 0.052 | 0.0508 | 208 | 5.77 | 0.39 | 0.44 | 0.077 | M03-07 | 6.98 | 0.137 | 0.0548 | 175 | 7.42 | 0.64 | 1.36 | nd |
| M01-06 | 6.48 | 0.186 | 0.0566 | 189 | 7.08 | 0.82 | 0.49 | 0.022 | M03-08 | 5.70 | 0.050 | 0.0352 | 142 | 5.86 | 0.27 | 0.46 | 0.037 |
| M01-07 | 5.35 | 0.051 | 0.0403 | 173 | 5.52 | 0.38 | 0.48 | 0.087 | M03-09 | 6.46 | 0.045 | 0.0456 | 163 | 6.60 | 0.36 | 0.56 | 0.036 |
| M01-08 | 5.16 | 0.077 | 0.0413 | 181 | 5.41 | 0.36 | 0.50 | 0.056 | M03-10 | 5.02 | 0.034 | 0.0343 | 158 | 5.13 | 0.28 | 0.42 | 0.049 |
| M01-09 | 4.99 | 0.051 | 0.0313 | 144 | 5.15 | 0.31 | 0.47 | 0.067 | M03-11 | 5.71 | 0.054 | 0.0341 | 137 | 5.88 | 0.28 | 0.64 | 0.041 |
| M01-10 | 4.99 | 0.048 | 0.0392 | 180 | 5.14 | 0.35 | 0.54 | 0.088 | M03-12 | 5.89 | 0.073 | 0.0398 | 154 | 6.12 | 0.35 | 0.67 | 0.024 |
| M01-11 | 6.07 | 0.058 | 0.0508 | 192 | 6.26 | 0.41 | 0.44 | 0.088 | M03-13 | 5.57 | 0.041 | 0.0321 | 133 | 5.70 | 0.27 | 0.47 | 0.028 |
| M01-12 | 4.93 | 0.076 | 0.0399 | 182 | 5.18 | 0.42 | 0.40 | 0.123 | M03-14 | 6.56 | 0.059 | 0.0409 | 143 | 6.75 | 0.36 | 0.57 | 0.036 |
| M01-13 | 4.24 | 0.038 | 0.0316 | 171 | 4.36 | 0.38 | 0.47 | 0.067 | M03-15 | 6.47 | 0.055 | 0.0495 | 176 | 6.65 | 0.36 | 0.68 | 0.017 |
| M01-14 | 6.36 | 0.043 | 0.0504 | 183 | 6.50 | 0.41 | 0.43 | 0.075 | M03-16 | 8.40 | 0.082 | 0.0576 | 157 | 8.66 | 0.31 | 0.68 | 0.037 |
| M01-15 | 5.23 | 0.021 | 0.0443 | 198 | 5.30 | 0.34 | 0.45 | 0.077 | M03-17 | 7.45 | 0.069 | 0.0512 | 158 | 7.67 | 0.30 | 0.61 | 0.035 |
| M01-16 | 6.41 | 0.042 | 0.0359 | 130 | 6.55 | 0.38 | 0.53 | 0.054 | M03-18 | 5.19 | 0.038 | 0.0378 | 168 | 5.32 | 0.31 | 0.45 | 0.029 |
| M01-17 | 4.30 | 0.052 | 0.0381 | 202 | 4.47 | 0.30 | 0.47 | 0.072 | M03-19 | 5.22 | 0.034 | 0.0338 | 150 | 5.33 | 0.28 | 0.47 | 0.028 |
| M01-18 | 5.05 | 0.047 | 0.0415 | 189 | 5.20 | 0.37 | 0.43 | 0.097 | M03-20 | 10.6 | 0.195 | 0.0831 | 174 | 11.3 | 0.76 | 2.24 | nd |
| M01-19 | 4.83 | 0.055 | 0.0407 | 192 | 5.01 | 0.32 | 0.43 | 0.065 | M03-21 | 11.0 | 0.130 | 0.0864 | 179 | 11.4 | 0.62 | 1.81 | nd |
| M01-20 | 5.56 | 0.067 | 0.0343 | 140 | 5.78 | 0.37 | 0.38 | 0.096 | M03-22 | 10.9 | 0.107 | 0.0861 | 181 | 11.2 | 0.53 | 1.28 | nd |
| M01-21 | 7.70 | 0.056 | 0.0546 | 164 | 7.88 | 0.39 | 0.56 | 0.025 | M03-23 | 9.93 | 0.081 | 0.0689 | 160 | 10.2 | 0.44 | 0.82 | 0.006 |
| M01-22 | 4.97 | 0.084 | 0.0433 | 195 | 5.25 | 0.34 | 0.56 | 0.047 | M03-24 | 5.88 | 0.046 | 0.0433 | 170 | 6.03 | 0.30 | 0.52 | 0.041 |
| M01-23 | 5.41 | 0.046 | 0.0385 | 164 | 5.56 | 0.37 | 0.57 | 0.048 | M03-25 | 10.4 | 0.163 | 0.0826 | 179 | 10.9 | 0.79 | 2.28 | nd |
| M01-24 | 4.56 | 0.047 | 0.0290 | 146 | 4.71 | 0.31 | 0.33 | 0.102 | M03-26 | 9.72 | 0.139 | 0.0758 | 176 | 10.2 | 0.69 | 2.13 | nd |
| M01-25 | 5.48 | 0.050 | 0.0386 | 162 | 5.64 | 0.33 | 0.49 | 0.061 | M03-27 | 10.7 | 0.116 | 0.0800 | 170 | 11.1 | 0.58 | 1.50 | nd |
| M01-26 | 5.04 | 0.036 | 0.0313 | 144 | 5.16 | 0.34 | 0.56 | 0.048 | M03-28 | 10.5 | 0.109 | 0.0814 | 177 | 10.9 | 0.52 | 1.10 | nd |
| M01-27 | 4.70 | 0.039 | 0.0322 | 158 | 4.82 | 0.34 | 0.58 | 0.045 | M03-29 | 9.37 | 0.140 | 0.0698 | 168 | 9.82 | 0.75 | 2.12 | nd |
| M01-28 | 4.65 | 0.025 | 0.0271 | 135 | 4.73 | 0.35 | 0.45 | 0.056 | M03-30 | 10.0 | 0.150 | 0.0786 | 177 | 10.5 | 0.65 | 2.07 | nd |
| M01-29 | 6.13 | 0.040 | 0.0496 | 187 | 6.26 | 0.35 | 0.58 | 0.036 | M03-31 | 9.96 | 0.165 | 0.0749 | 169 | 10.5 | 0.71 | 2.08 | nd |
| M01-30 | 4.72 | 0.032 | 0.0393 | 193 | 4.82 | 0.27 | 0.39 | 0.061 | M04-01 | 7.64 | 0.363 | 0.0640 | 172 | 8.81 | 0.66 | 1.20 | nd |
| M01-31 | 5.42 | 0.043 | 0.0393 | 167 | 5.55 | 0.32 | 0.48 | 0.062 | M04-02 | 7.27 | 0.289 | 0.0583 | 168 | 8.20 | 0.65 | 1.22 | 0.008 |
| M01-32 | 5.79 | 0.041 | 0.0426 | 170 | 5.92 | 0.35 | 0.51 | 0.045 | M04-03 | 7.47 | 0.318 | 0.0629 | 175 | 8.49 | 0.65 | 1.26 | nd |
| M01-33 | 4.48 | 0.032 | 0.0243 | 125 | 4.58 | 0.33 | 0.43 | 0.053 | M04-04 | 5.78 | 0.063 | 0.0325 | 129 | 5.98 | 0.32 | 0.35 | 0.074 |
| M01-34 | 4.22 | 0.019 | 0.0270 | 149 | 4.28 | 0.36 | 0.41 | 0.051 | M04-05 | 7.19 | 0.307 | 0.0595 | 172 | 8.18 | 0.65 | 1.24 | nd |
| M01-35 | 4.84 | 0.036 | 0.0260 | 124 | 4.96 | 0.32 | 0.35 | 0.081 | M04-06 | 7.20 | 0.127 | 0.0578 | 180 | 7.61 | 0.61 | 1.76 | nd |
| M01-36 | 6.63 | 0.040 | 0.0477 | 167 | 6.76 | 0.35 | 0.41 | 0.072 | M04-07 | 4.95 | 0.089 | 0.0227 | 102 | 5.24 | 0.35 | 0.46 | 0.048 |
| M01-37 | 5.95 | 0.040 | 0.0414 | 161 | 6.08 | 0.39 | 0.50 | 0.064 | M04-08 | 7.86 | 0.397 | 0.0676 | 175 | 9.14 | 0.70 | 1.37 | nd |
| M01-38 | 5.56 | 0.036 | 0.0375 | 156 | 5.68 | 0.35 | 0.47 | 0.054 | M04-09 | 7.11 | 0.245 | 0.0592 | 177 | 7.90 | 0.56 | 1.22 | nd |

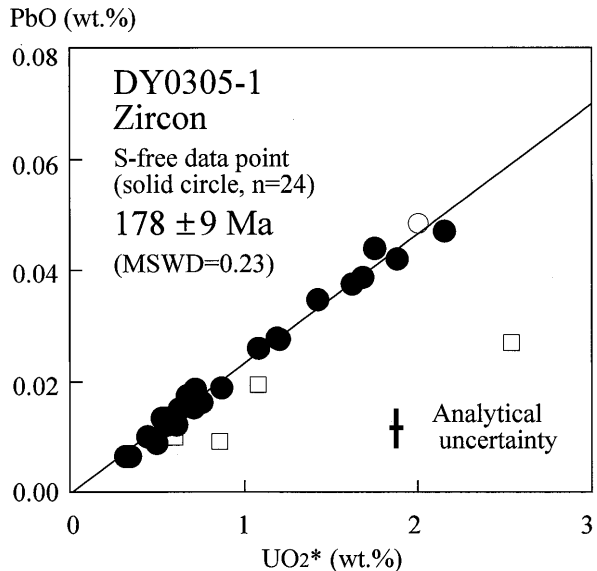
Table 1. (continued)

| No. | ThO ₂ | UO ₂ | PbO | Age | ThO ₂ * | CaO | Y ₂ O ₃ | S | No. | ThO ₂ | UO ₂ | PbO | Age | ThO ₂ * | CaO | Y ₂ O ₃ | S |
|--------|------------------|-----------------|--------|-----|--------------------|------|-------------------------------|-------|--------|------------------|-----------------|--------|-----|--------------------|------|-------------------------------|-------|
| M04-10 | 6.99 | 0.262 | 0.0517 | 156 | 7.83 | 0.60 | 1.08 | 0.005 | M07-04 | 6.34 | 0.051 | 0.0475 | 173 | 6.50 | 0.31 | 0.51 | 0.014 |
| M05-01 | 5.36 | 0.040 | 0.0301 | 130 | 5.49 | 0.32 | 0.38 | 0.049 | M07-05 | 6.45 | 0.065 | 0.0494 | 175 | 6.66 | 0.35 | 0.44 | 0.017 |
| M05-02 | 5.04 | 0.043 | 0.0284 | 130 | 5.17 | 0.34 | 0.32 | 0.061 | M08-01 | 4.83 | 0.066 | 0.0332 | 156 | 5.05 | 0.37 | 0.69 | 0.020 |
| M05-03 | 5.06 | 0.036 | 0.0353 | 161 | 5.18 | 0.38 | 0.34 | 0.059 | M08-02 | 5.78 | 0.058 | 0.0352 | 139 | 5.97 | 0.35 | 0.47 | 0.030 |
| M05-04 | 5.42 | 0.047 | 0.0418 | 177 | 5.57 | 0.30 | 0.46 | 0.015 | M08-03 | 5.71 | 0.640 | 0.0402 | 161 | 5.92 | 0.35 | 0.45 | 0.027 |
| M05-05 | 5.33 | 0.040 | 0.0343 | 149 | 5.46 | 0.32 | 0.45 | 0.031 | M09-01 | 5.17 | 0.044 | 0.0438 | 195 | 5.32 | 0.41 | 0.53 | 0.050 |
| M05-06 | 5.46 | 0.053 | 0.0397 | 167 | 5.63 | 0.34 | 0.39 | 0.046 | M09-02 | 6.98 | 0.513 | 0.0646 | 177 | 8.64 | 0.99 | 1.22 | nd |
| M05-07 | 4.82 | 0.039 | 0.0335 | 160 | 4.94 | 0.27 | 0.36 | 0.021 | M09-03 | 7.62 | 0.576 | 0.0701 | 175 | 9.48 | 1.05 | 1.21 | nd |
| M05-08 | 5.67 | 0.052 | 0.0345 | 140 | 5.84 | 0.30 | 0.51 | 0.019 | M09-04 | 4.93 | 0.040 | 0.0403 | 188 | 5.06 | 0.44 | 0.43 | 0.078 |
| M05-09 | 5.56 | 0.033 | 0.0459 | 192 | 5.67 | 0.38 | 0.49 | 0.023 | M09-05 | 6.05 | 0.133 | 0.0405 | 148 | 6.47 | 0.46 | 0.50 | 0.031 |
| M05-10 | 5.03 | 0.049 | 0.0360 | 164 | 5.19 | 0.34 | 0.31 | 0.064 | M09-06 | 7.81 | 0.079 | 0.0469 | 138 | 8.07 | 0.37 | 0.75 | 0.015 |
| M06-01 | 4.50 | 0.030 | 0.0293 | 151 | 4.60 | 0.35 | 0.31 | 0.073 | M10-01 | 4.30 | 0.037 | 0.0261 | 140 | 4.42 | 0.51 | 0.47 | 0.111 |
| M06-02 | 4.68 | 0.038 | 0.0268 | 132 | 4.81 | 0.35 | 0.33 | 0.073 | M10-02 | 4.08 | 0.073 | 0.0285 | 156 | 4.32 | 0.42 | 0.63 | 0.030 |
| M06-03 | 4.71 | 0.034 | 0.0320 | 157 | 4.82 | 0.35 | 0.32 | 0.070 | M10-03 | 5.28 | 0.044 | 0.0393 | 172 | 5.42 | 0.41 | 0.31 | 0.047 |
| M06-04 | 5.02 | 0.036 | 0.0373 | 172 | 5.13 | 0.32 | 0.40 | 0.039 | M10-04 | 4.70 | 0.025 | 0.0328 | 162 | 4.78 | 0.33 | 0.34 | 0.074 |
| M06-05 | 5.01 | 0.028 | 0.0295 | 137 | 5.10 | 0.36 | 0.36 | 0.063 | M10-05 | 5.29 | 0.031 | 0.0368 | 162 | 5.39 | 0.37 | 0.32 | 0.059 |
| M06-06 | 5.05 | 0.051 | 0.0288 | 131 | 5.22 | 0.30 | 0.44 | 0.041 | M10-06 | 4.62 | 0.031 | 0.0292 | 146 | 4.72 | 0.31 | 0.49 | 0.032 |
| M06-07 | 4.91 | 0.063 | 0.0287 | 133 | 5.11 | 0.36 | 0.60 | 0.040 | M10-07 | 4.59 | 0.047 | 0.0398 | 198 | 4.74 | 0.32 | 0.53 | 0.037 |
| M06-08 | 5.04 | 0.030 | 0.0415 | 191 | 5.14 | 0.33 | 0.40 | 0.040 | M10-08 | 5.19 | 0.028 | 0.0313 | 140 | 5.28 | 0.29 | 0.36 | 0.054 |
| M07-01 | 9.17 | 0.116 | 0.0667 | 165 | 9.54 | 0.45 | 0.74 | 0.010 | M10-09 | 4.82 | 0.024 | 0.0359 | 173 | 4.89 | 0.29 | 0.32 | 0.064 |
| M07-02 | 7.04 | 0.310 | 0.0604 | 178 | 8.05 | 0.72 | 0.84 | nd | M10-10 | 3.54 | 0.162 | 0.0303 | 176 | 4.06 | 0.51 | 1.39 | nd |
| M07-03 | 7.30 | 0.336 | 0.0639 | 180 | 8.38 | 0.77 | 0.91 | nd | | | | | | | | | |

結果

梨樹溝岩体の試料DY0305-1では、3粒子のジルコンで36点を分析し、うち29点から2シグマの検出限界を超える鉛が測定できた。鉛が検出できた測定点のなかで、Z02-04, Z02-05, Z02-11, Z02-20の4点は、ZrO₂含有量が50~55重量%と有意に低いので、メタミクト化していると推定される。測定点Z01-03はS含有量が0.3%を超える。これは顕微鏡で認識できないような微細硫化物の存在を示唆する。測定点Z01-03は閉鎖系でなかったと考えられる。残る24測定点の組成範囲は、ThO₂が0.015~1.43重量%，UO₂が0.251~1.93重量%，PbOが0.0070~0.0473重量%である。そのみかけ年代の範囲は140~199Maであり、平均は177Maである。PbO-UO₂*プロットをFig. 2に示す。York (1966) のアルゴリズムで計算したCHIME (Suzuki and Adachi, 1991, 1994) 年代は178±9 Ma (MSWD=0.23), 初生値(切片)は-0.0005±0.0010である。

草山岩体の試料DY0322-1では、ジルコン5粒子とモナザイト10粒子を分析した。ジルコンの78測定点のうち、42点で鉛が測定できた。鉛が検出さ



れたZ02-02, Z02-07, Z02-08を除く39測定点は、0.015～4.20重量%の ThO_2 , 0.240～1.05重量%の UO_2 , 0.0073～0.0554重量%の PbO を含み、151～～226Maの見掛け年代を示す。CHIME年代は 175 ± 8 Ma (MSWD=0.35), 初生値(切片)は 0.0001 ± 0.0010 である (Fig. 3A)。モナザイトの136測定点のうち、109点から0.005～0.123重量%のSが測定された。Sを含む測定点の Y_2O_3 含有量(0.31～1.33)は、Sを含まない測定点の Y_2O_3 含有量(0.84～2.28%)より、押し並べ低い。また、Sを含む測定点の見掛け年代(102～208Ma, 平均161Ma)は、Sを含まない測定点の見掛け年代(168～182Ma, 平均176Ma)より、変化幅が大きい。Sを含む測定点は閉鎖系ではなかった可能性が高い。Sを含まない27測定点は、 ThO_2 を3.54～11.0重量%, UO_2 を0.109～0.690重量%, PbO を0.0303～0.0864重量%含み、 $\text{PbO}-\text{ThO}_2^*$ 図上で直線上に配列する (Fig. 3B)。そのCHIME年代は 177 ± 6 Ma (MSWD=0.05), 初生値(切片)は 0.0000 ± 0.0021 である。

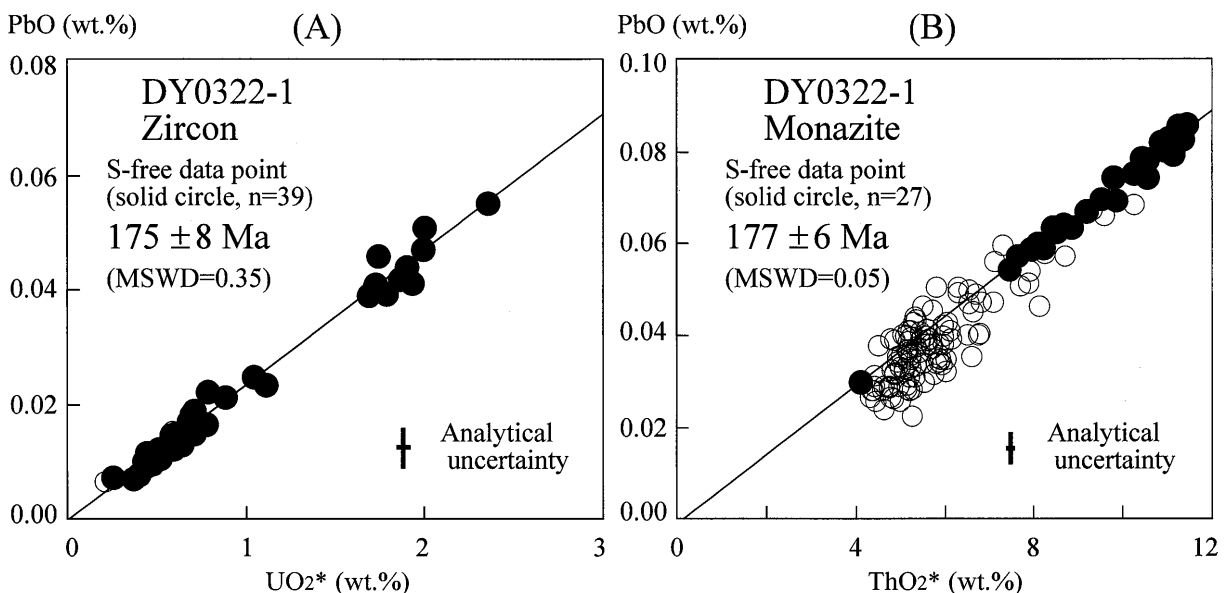


Fig. 3. $\text{PbO}-\text{UO}_2^*$ plot for analyzed zircons (A) and $\text{PbO}-\text{ThO}_2^*$ plot for analyzed monazites (B) in sample DY0322-1 from the Caoshan pluton. Open circles represent data points for spot with detectable amounts of sulfur, and are not used for age calculation. Explanation for errors is the same as for Fig. 2.

荒溝山地域の花崗岩の形成年代

荒溝山地域の花崗岩体をCHIME法で年代測定して、梨樹溝岩体のジルコンCHIME年代が 178 ± 9 Ma, 草山岩体のジルコンとモナザイトCHIME年代がそれぞれ 175 ± 8 Maと 177 ± 6 Maを得た。この年代は、Wang and Xing (1994) が報告した老禿頂子岩体の 197 ± 10 Maや梨樹溝岩体の 215 ± 26 MaというRb-Sr全岩アイソクロン年代より明らかに若い。この不一致の原因として、(1)荒溝山地域には時代の異なる花崗岩体が共存、(2) CHIME年代かRb-Sr全岩アイソクロン年代の何れかの誤り、が考えられる。ジルコンやモナザイトは閉止温度が高いので、Rb-Sr全岩アイソクロン年代より若いCHIME年代の原因として、後の熱事件を仮定することは困難であろう。

CHIME年代を実施した試料とRb-Sr全岩アイソクロン年代を測定した試料は同じではない。従って、梨樹溝岩体の中に若い貫入岩が存在する可能性を全く否定することはできないが、梨樹溝岩体が複数の貫入岩で構成されているという地質学的・岩石学的な証拠は見つかっていない。荒溝山地域に、時代の異なる花崗岩体が共存している可能性は少ない。

ジルコンでは U-Pb 系のディスコーダンスが知られている。同位体を測定する場合は $^{206}\text{Pb}/^{238}\text{U}$, $^{207}\text{Pb}/^{235}\text{U}$, $^{207}\text{Pb}/^{206}\text{Pb}$ の年代不一致で認識できるが、同位体を測定しない CHIME 法ではディスコーダンスのは有無を検証できない。ディスコーダンスの原因の一つに壊変途中生成物である Rn の散逸が考えられる (Suzuki, 1987)。この散逸は主にフィッショントラック等の自由経路を通して生じるので、U 濃度の高い部分ほど Pb の平均含有量が低くなる（年代が若くなる）ことが期待される。しかし、S を含まない測定点のデータポイントは、Fig. 2 および Fig. 3 に示したように、原点を通るアイソクロロンを形成するので、大きなディスコーダンスは考えにくい。また、ジルコンの CHIME 年代は、U-Pb 系のディスコーダンスが問題にならないと考えられているモナザイトの CHIME 年代に一致している。

CHIME 年代が Rb-Sr 全岩アイソクロロン年代より若くなることが、山口県岩国市西部の土生花崗閃緑岩体で報告されている。大和田ほか (1995) は、この岩体が花崗閃緑岩質周辺部と花崗岩質中心部分からなる単一マグマ起原の累帯岩体 (zoned pluton) であることを明らかにして、 124.2 ± 10.8 Ma の Rb-Sr 全岩アイソクロロン年代を報告した。CHIME モナザイト年代 (86 ~ 87 Ma, Suzuki *et al.*, 1996) は同位体年代より明らかに若い。Tsuboi and Suzuki (2003) は、その結晶構造中に Rb を殆ど取り込まない (年代効果の小さい) アパタイトの Sr 同位体比を測定して、Rb 含有量の少ない花崗閃緑岩の Sr 初生値 (0.7054 ~ 0.7061) は、Rb 含有量の多い花崗岩の Sr 初生値 (0.7066 ~ 0.7068) より小さいことを明らかにした。まだ、この変動の原因是明らかになっていないが、単一マグマの分化した花崗岩体でも Sr 初生値が一定という仮定が成立するとは限らない。最近、日本の多くの花崗岩体において、Rb-Sr のデータ点が一直線に並んで MSWD の小さなアイソクロロンを形成していても、Sr 初生値が不均質であったこと指摘されている (加賀美ほか, 2004)。荒溝山地域の老禿頂子岩体や梨樹溝岩体でも、Sr 初生値が不均質であった可能性は否定できない。本稿では、CHIME ジルコンおよびモナザイト年代 (175 ~ 178 Ma) を荒溝山地域の花崗岩の形成年代として採用する。

荒溝山地域の花崗岩の年代は、コリア半島の大宝花崗岩の年代に一致する。興安 - 蒙古造山帯の西部 Xinjiang 地域の花崗岩活動は 400 ~ 200 Ma (ピークは 300 Ma) であるが、東部の Xing'an 地域では二疊紀 (270 ~ 250 Ma) に加えて三疊紀 - ジュラ紀初頭・中部ジュラ紀・白亜紀 (120 Ma) にも花崗岩が貫入している (Jahn *et al.*, 2000)。北支那地塊の東北縁を構成する荒溝山地域に中部ジュラ紀の花崗岩が存在することは、大宝期の花崗岩活動が興安 - 蒙古造山帯まで波及したことを示唆する。

今後、吉林省南東部の花崗岩の年代測定を広範囲に実施するとともに、興安 - 蒙古造山帯やコリア半島の花崗岩との岩石学的・地球化学的比較研究を実施して、中央アジア造山運動と北支那地塊のジュラ紀火成活動との関係を解明する必要がある。

謝 辞

本報告は中国自然科学基金により孫が名古屋大学年代測定総合研究センターに留学して行った「顯生代花崗岩の成因と地殻成長」(課題番号 40272045) に関する研究成果の一部を取りまとめたものである。留学費用を提供していただいた中国国家留学基金委員会に深く謝意を表する。柴田 賢先生には本論文の査読をしていただき、数々の建設的なコメントをいただいた。名古屋大学年代測定総合研究センターの加藤丈典先生と鈴木里子博士には電子プローブマイクロアナライザ分析など各種実験の指導とデータの解析に関する助言をいただいた。また、同センターの金川和世さん、中崎峰子さん、池田晃子さんには実験を手伝っていただいた。ここに記して感謝する。

文 献

- Bence, A.E. and Albee, A.L. (1968) Empirical correction factors for the electron microanalysis of silicates and oxides. *Jour. Geol.*, 1968, 76: 382-403.
- Jahn, B.M., Wu, F.Y. and Chen, B. (2000) Massive granitoids generation in Central Asia: Nd isotope evidence and implication for continental growth in the Phanerozoic. *Episodes*, 23, 2, 82-92.
- Jilin Bureau of Geology and Mineral Resources (1988) Regional geology of Jilin province. Geological Publishing House, Beijing, 301-385.
- 大和田正明・田中忍・袖原雅樹・加賀美寛雄(1995) 山口県東部、土生花崗閃綠岩のRb-Sr全岩年代. 岩鉱, 90, 358-364.
- 加賀美寛雄・川野良信・石岡純・志村俊昭・大和田正明・袖原雅樹 (2004) 信頼度の高いRb-Sr全岩アイソクロン年代測定法：花崗岩体形成解明のためのアプローチ. 日本地質学会第111年学術大会講演要旨 (O-211).
- Suzuki, K. (1987) Discordant distribution of U and Pb in zircon of Naegi granite: a possible indication of Rn migration through radiation damage. *Geochemical J.* 21, 173-182.
- Suzuki, K. and Adachi, M. (1991) Precambrian provenance and Silurian metamorphism of the Tsubonosawa paragneiss in the South Kitakami terrane, Northeast Japan. *Geochemical J.* 25, 357-376.
- Suzuki, K. and Adachi, M. (1994) Middle Precambrian detrital monazite and zircon from the Hida gneiss on Oki-Dogo Island, Japan: their origin and implication for the correlation of the basement of Southwest Japan and Korea. *Tectonophysics*, 235, 277-292.
- Suzuki, K., Adachi, M. and Nureki, T. (1996) CHIME age dating of monazites from metamorphic rocks and granitic rocks of the Ryoke belt in the Iwakuni area, Southwest Japan. *Island Arc*, 5, 43-55.
- Tsuboi, M. and Suzuki, K. (2003) Heterogeneity of initial $^{87}\text{Sr}/^{86}\text{Sr}$ ratios within a single platin: evidence from apatite strontium isotopic study. *Chem. Geol.*, 199, 189-197.
- Wang, S. and Xing, S. W. (1994) A Preliminary study on genetic types of granites in the Huanggou Mountain region, Hunjiang City, Jilin Province. *Jour. Jilin Geol.*, 13, 36-41 (in Chinese with English abstract).
- Won, C.K. (1987) Triassic to Paleogene igneous rocks (Chapter 16). in Lee, D.S. ed. Geology of Korea, Geological Society of Korea, Kyohak-sa, Seoul, Korea.
- York, D. (1966) Least-squares fitting of a straight line. *Can. J. Phys.*, 44, 1079-1086.

(2004年10月15日受付, 2004年11月15日受理)